

УДК 541.6:541.49:542.61

## ТИАКАЛИКС[4]АРЕНЫ: ЭКСТРАКЦИЯ ПАЛЛАДИЯ И ЭЛЕКТРОННОЕ СТРОЕНИЕ

© 2011 В.Г. Торгов<sup>1</sup>, Л.Н. Мазалов<sup>1,2</sup>, Г.А. Костин<sup>1,2</sup>, Т.В. Ус<sup>1</sup>, Т.М. Корда<sup>1</sup>,  
Н.А. Крючкова<sup>1,2\*</sup>, Е.В. Коротаев<sup>1</sup>, А.Д. Федоренко<sup>1</sup>, А.Б. Драпайло<sup>3</sup>

<sup>1</sup>Учреждение Российской академии наук Институт неорганической химии им. А.В. Николаева СО РАН,  
Новосибирск

<sup>2</sup>Новосибирский государственный университет

<sup>3</sup>Институт органической химии НАН Украины, Киев

Статья поступила 30 ноября 2010 г.

Проведено сопоставление экстрагируемости нитрокомплексов палладия с зарядовым состоянием атомов серы и кислорода в тиакаликс[4]аренах в конформациях конус и 1,3-альтернат. Результаты РФЭС и РЭС исследований свидетельствуют о наличии на мостиковых атомах серы значительной электронной плотности, обусловленной вкладом Зр-АО серы в верхние занятые МО молекул. Последовательность изменения электронной плотности на атомах серы в ряду каликсарентиоэфиры > тиакаликсарены > диалкилсульфиды  $((C_{10}H_{21})_2S) > (C_6H_5)_2S$  не полностью совпадает с изменением их экстракционной способности, что может быть обусловлено разной природой и стехиометрией образующихся комплексов палладия.

**Ключевые слова:** тиакаликс[4]арены, рентгеновская фотоэлектронная спектроскопия, рентгеновская эмиссионная спектроскопия, метод DFT, экстракция, палладий, азотно-кислые растворы.

### ВВЕДЕНИЕ

В последнее десятилетие тиакаликсарены (ТКА) рассматриваются как новое поколение макроциклических лигантов, существенно отличающихся от классических каликсаренов [ 1—3 ]. Увеличение размеров кольца в тиакаликсаренах обуславливает более высокую склонность к включению органических молекул и многообразие составов комплексов включения гость:хозяин (от 1:2 до 2:1) по сравнению с типичными для каликсаренов (КА) составами 1:1; изменяется также стехиометрия комплексов металлов с ТКА [ 4 ]. Вследствие электронного влияния мостиковых атомов серы в тиакаликсаренах возможно также прямое нуклеофильное замещение метокси-групп нижнего обода на амидные или аминные [ 1 ]. Эти размерные и электронные отличия ТКА вызывают повышение констант кислотности OH-групп на 2—4 порядка. Поэтому появляется возможность извлечения многих металлов за счет хелатообразования с де-протонированными феноксидными группами и участием в ряде случаев мостиковых атомов серы тиакаликсаренов [ 2, 3 ]. Круг экстрагентов и извлекаемых металлов существенно расширяется при окислении мостиковых атомов серы до сульфоксидов (ТКСО) и сульфонов (ТКСФ) [ 1, 2 ]. Экстракция некоторых халькофильных металлов изменяется в ряду макроциклов ТКА—ТКСО—ТКСФ аналогично ряду ациклических экстрагентов  $R_2S > R_2SO > R_2SO_2$  [ 5 ], для которых по данным рентгеноспектральных исследований уменьшение экстракционных свойств связано с уменьшением отрицательного заряда на атомах серы [ 6 ].

Зарядовое состояние атомов серы в ТКА и их производных ранее не исследовалось. В настоящей работе были получены рентгеновские фотоэлектронные спектры внутренних уровней

\* E-mail: knatali@ngs.ru

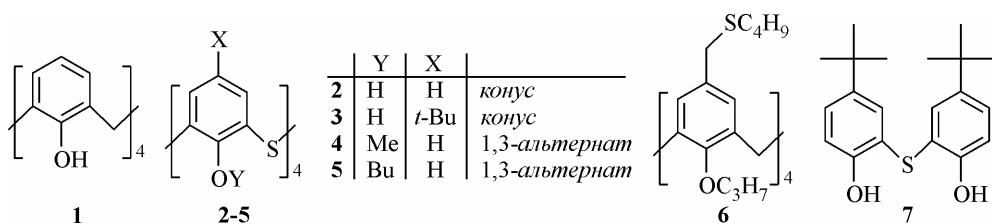


Рис. 1. Экстрагенты, используемые в работе

атомов серы  $S(2p_{3/2,1/2})$  и кислорода  $O(2p_{3/2,1/2})$ , рентгеновские эмиссионные  $K_{\alpha_{12}}$ -линии, соответствующие рентгеновским переходам между внутренними  $2p$ - и  $1s$ -уровнями серы, а также рентгеновские эмиссионные  $K_{\beta}$ -спектры, соответствующие рентгеновским переходам между внутренними  $3p$ - и  $1s$ -уровнями серы. На основе изучения химических сдвигов внутренних уровней атомов возможно определение характера распределения электронной плотности на атомах серы и кислорода (эффективный заряд) в тиакаликсаренах с различными заместителями и различной конформацией.

Проведение корреляций между рентгеноспектральными характеристиками атомов серы тиакаликсаренов и их экстракционной способностью корректно при извлечении металлов только из кислых растворов вследствие подавления протекающих в нейтральных и щелочных растворах процессов обмена протонов на катионы металлов. Литературные сведения по экстракции металлов ТКА из кислых растворов немногочисленны. Поэтому была изучена экстракция нитритных комплексов палладия тиакаликсаренами (в сравнении с каликс[4]арентиоэфирами [7]) из азотно-кислых растворов, представляющая, кроме того, самостоятельный интерес для извлечения осколочного палладия.

Таким образом, целью проведенного исследования является сопоставление зарядового состояния атомов серы в тиакаликс[4]аренах в конформациях *конус* и *1,3-альтернат* и каликс[4]арентиаэфирах в конформации *конус* (рис. 1) с экстрагируемостью нитрокомплексов палладия из азотно-кислых растворов.

### ЭКСПЕРИМЕНТАЛЬНАЯ ЧАСТЬ

Все реагенты, использованные в работе, имели квалификацию не ниже ЧДА. Тиакаликсарены были получены по описанным методикам [8–11]. Растворы тиакаликсаренов для экстракции готовили по точным навескам. Для сравнения исследовали также ациклический 2,2-тиобис(*4-трем-бутил*)фенол (7) и дифенилсульфид (ДФС). В качестве разбавителей применяли толуол и дихлорэтан (ДХЭ) квалификации ХЧ, растворимость тиакаликсаренов в которых не превышает 10 ммоль/л.

Растворы для экстракции готовили смешением аликовых частей водного раствора синтезированного комплекса палладия  $K_2[Pd(NO_2)_4]$  с растворами  $NaOH$  или  $HNO_3$ . Равные объемы водной и органической фаз интенсивно перемешивали в течение 30 мин при комнатной температуре. Анализ растворов и сопряженных фаз проводили атомно-абсорбционным методом (Hitachi Z-8000) в пламени ( $>0,1$  мкг/мл) или графитовом атомизаторе ( $>0,001$  мкг/мл). По результатам анализа рассчитывали: процент извлечения относительно исходной концентрации палладия  $E_{Pd}$ , %; коэффициент распределения  $D_{Pd}$  и величины макроциклического эффекта (МЭ) как отношение величины  $D_{Pd}$  для макроцикла и его монодентатного аналога при одинаковых молярных концентрациях атомов серы. Погрешность определения констант экстракции охарактеризована доверительным интервалом при  $P = 0,95$ .

Рентгеновские фотоэлектронные спектры были записаны на электронном спектрометре ESCA-Specs с использованием неменохроматизированного излучения  $AlK_{\alpha}$  ( $h\nu = 1486,6$  эВ). Перед съемкой порошковые образцы были размолоты в агатовой ступке и нанесены на двухсторонний проводящий углеродный скотч. Для калибровки фотоэлектронных линий применяли метод внутреннего стандарта, в качестве которого использовали линию  $C1s$  с  $E_{cb} = 284,9$  эВ.

Для детального анализа химического состава образцов применяли разложение спектров на индивидуальные составляющие. После вычитания фона по методу Ширли экспериментальную кривую раскладывали на ряд линий, соответствующих фотоэмиссии электронов с внутренних уровней атомов в различном химическом окружении [ 12 ]. Точность измерения положения линии для изученных спектров составляла 0,1—0,15 эВ.

Рентгеновские флуоресцентные эмиссионные  $S(K\alpha_{12})$ - и  $S(K\beta)$ -спектры были получены на рентгеновском ультрамягком спектрометре "Стеарат". В качестве кристалл-анализатора использовали кристалл кварца (1340). Режим работы рентгеновской трубы  $V = 8$  кВ,  $I = 100$  мА. Изучаемое вещество наносили на вторичный анод рентгеновской трубы.

Спектры регистрировали пропорциональным счетчиком с аргон-метановым наполнением и записывали самописцем при сканировании счетчика по фокальному кругу спектрометра. Результатирующие спектры являлись результатом усреднения 3—5 экспериментальных сканов при соблюдении постоянства режимов работы рентгеновской трубы. Разрешение спектрометра в исследуемой спектральной области  $E/\Delta E \sim 5 \cdot 10^3$ .

Модельные квантово-химические расчеты электронного строения свободных молекул тиакаликс[4]аренов в конформациях *конус* и *1,3-альтернат* проводили в программном комплексе Jaguar 6.5, Shrodinger Inc. [ 13 ]. Для оптимизации геометрии молекул тиакаликс[4]аренов был выбран метод теории функционала плотности (DFT) с гибридным обменно-корреляционным функционалом B3LYP [ 14, 15 ], используемый базис M6-31G(TM)+\* [ 16 ]. Заряды на атомах, входящих в состав тиакаликс[4]аренов, определяли методом электростатического потенциала (МЭП) [ 17, 18 ].

## РЕЗУЛЬТАТЫ И ИХ ОБСУЖДЕНИЕ

Ранее [ 5 ] было показано, что координационная экстракция благородных металлов (Pd, Ag, Au) монодентатными органическими сульфидами в форме  $[M(R_2S)_nA_m]$  ( $n, m = 1—3$ , A = Cl,  $NO_3$ ,  $NO_2$ ) возрастает симбатно с увеличением донорных свойств атома серы в ряду диалкил > алкиларил > диарилсульфиды (величина энергетических смещений в  $K\alpha_{12}$ -спектрах изменяется от -0,1 до +0,02 эВ [ 6 ]). Схожие зависимости обнаружены и для каликсарентиоэфиров. Замена в верхнем ободе каликс[4]арентиоэфира **6** алкильных групп в верхнем ободе на толильные приводит к уменьшению экстракции палладия и серебра из азотно-кислых растворов [ 7 ].

**Зарядовое состояние атомов серы и кислорода в тиакаликс[4]аренах.** Энергетическое положение основного уровня атома в молекуле зависит непосредственно как от эффективного заряда атома, так и от характера внешнего окружения. Соответствующая зависимость имеет вид  $\epsilon = kq + \sum_{i=1}^n \frac{q_i}{R_i}$ , где первое слагаемое зависит от эффективного заряда непосредственно на

атоме, второе слагаемое описывает взаимодействие внутреннего уровня с зарядами, сосредоточенными на атомах ближайшего окружения [ 19 ]. Учитывая, что эти два слагаемых имеют противоположные знаки, а второе слагаемое обычно меньше, чем первое, можно ожидать, что наблюдаемые различия в энергиях 2p-уровней серы обусловлены различием зарядовых состояний атома серы для конформаций *конус* и *1,3-альтернат*.

Как следует из рентгеновских фотоэлектронных спектров, энергии связи 2p-уровня атома серы тиакаликс[4]аренов в конформациях *конус* (2, 3) и *1,3-альтернат* (4, 5) различаются (табл. 1) на величину  $\Delta\epsilon \sim 0,5$  эВ, превышающую экспериментальную ошибку измерения уровней. В первом случае энергии связи 2p-уровня серы несколько больше, что качественно согласуется с теоретическими расчетами (см. табл. 1). Более отчетливо это различие (на уровне 1 эВ) проявляется в энергиях связи уровней O1s атома кислорода, которое также подтверждается квантово-химическим расчетом.

Таким образом, атомы серы, входящие в состав тиакаликс[4]аренов в конформации *конус* (2, 3) и имеющие большую энергию связи 2p-уровней, несут на себе меньшую электронную плотность, чем атома серы в тиакаликс[4]аренах в конформации "*1,3-альтернат*" (4, 5). Анало-

Т а б л и ц а 1

*Экспериментальные и теоретические значения энергий  $K_{\alpha_{12}}$ -линий серы (эВ) и заряды  $Q$  на атомах серы и кислорода для изучаемых тиакаликс[4]аренов (L)*

L	S2p <sub>3/2</sub> , эксп.	S2p, расч.	S( $K_{\alpha_{12}}$ ), эксп.	S( $K_{\alpha_{12}}$ ), расч.	$\Delta K_{\alpha_{12}}$ , эксп.	$Q(S)$ , расч.	O1s, эксп.	O1s, расч.	$Q(O)$ , расч.
2	163,7	161,1	2307,07	2257,04	-0,17	-0,13	533,4	522,3	-0,42; -0,49
3	163,8	161,0	2306,99	2256,90	-0,25	-0,16	533,5	522,4	-0,38; -0,48
4	163,5	160,4	2307,07	2257,03	-0,17	-0,27	532,5	521,1	-0,30
5	163,55	160,7	2307,09	2257,06	-0,15	-0,29; -0,27	532,3	521,5	-0,30; -0,27

гично атомы кислорода в тиакаликс[4]аренах (4, 5) несут на себе большую электронную плотность по сравнению с тиакаликс[4]аренами 2 и 3, вероятно, за счет разрыва внутримолекулярных водородных связей в нижнем ободе.

Использование химических сдвигов внутренних рентгеновских переходов ( $1s \rightarrow 2p$ )  $K_{\alpha_{12}}$ -линий для определения зарядового состояния атомов в молекулах и твердых телах широко используется для определения эффективных зарядов атомов. Обычно измеряют взаимное положение  $K_{\alpha_{12}}$ -линий в некотором ряду молекул относительно выбранного реперного соединения, зарядовое состояние которого определено [20]. В настоящей работе зарядовое состояние атома серы в ряду тиакаликс[4]аренов определено относительно атомов элементарной серы и реперных соединений, содержащих атомы серы в различных степенях окисления. При переходе от элементарной серы к  $R_2S$  происходит уменьшение энергии ( $K_{\alpha_{12}}$ )-перехода, что отвечает увеличению электронной плотности на атоме серы, а дальнейшее увеличение энергии  $K_{\alpha_{12}}$  в ряду  $R_2S < R_2SO < R_2SO_2 < Na_2SO_4$  коррелирует с увеличением формальной положительной степени окисления серы. Численные значения экспериментальных химических сдвигов  $\Delta K_{\alpha_{12}}$  для исследованных тиакаликс[4]аренов относительно элементарной серы приведены в табл. 1. Независимо от конформации 1,3-альтернат или конус все соединения характеризуются сдвигом полосы в  $K_{\alpha_{12}}$ -спектре в диапазоне от -0,15 до -0,25 эВ относительно элементарной серы, что свидетельствует о близком зарядовом состоянии атомов серы в изучаемых тиакаликс[4]аренах и диалкилсульфидах (для  $(C_{10}H_{21})_2S$   $\Delta K_{\alpha_{12}} = -0,14$  эВ [6]).

Одним из способов теоретического описания характера распределения электронной плотности в молекуле является ее молекулярный электростатический потенциал (ЭСП), которому могут быть сопоставлены определенные заряды на атомах в молекуле. ЭСП является чувствительным параметром, описывающим перенос зарядов в молекулах и их перераспределение при тех или иных структурных перестройках. ЭСП локализует активные центры молекул и дает информацию об их реакционной способности, в частности, позволяет интерпретировать электрофильные и нуклеофильные свойства молекул при их взаимодействии с другими молекулами. Расчетные эффективные заряды на атомах серы, определенные из электростатического потенциала, отрицательные для всех ТКА и несколько выше для ТКА в конформации 1,3-альтернат, что коррелирует с выводами, полученными на основе рентгеноэлектронных и рентгеновских данных.

**Строение ВЗМО тиакаликс[4]аренов.** Рентгеновские эмиссионные  $S(K_{\beta})$ -спектры (спектральный переход  $3p \rightarrow 1s$ ) атомов серы, входящих в состав тиакаликс[4]аренов, являются суммой отдельных спектральных линий, отвечающих переходам электронов с высших занятых молекулярных орбиталей (ВЗМО), построенных с участием  $3p$ -валентных электронов атомов серы, на внутренний  $1s$ -уровень атома. Энергетическое положение соответствующих переходов и их интенсивность непосредственно связаны с энергиями занятых ВЗМО и степенью участия  $3p$ -АО серы в соответствующих МО [20], т.е. квадратами коэффициентов МО ЛКАО при  $3p$ -АО серы. На рис. 2 представлены экспериментальные рентгеновские эмиссион-

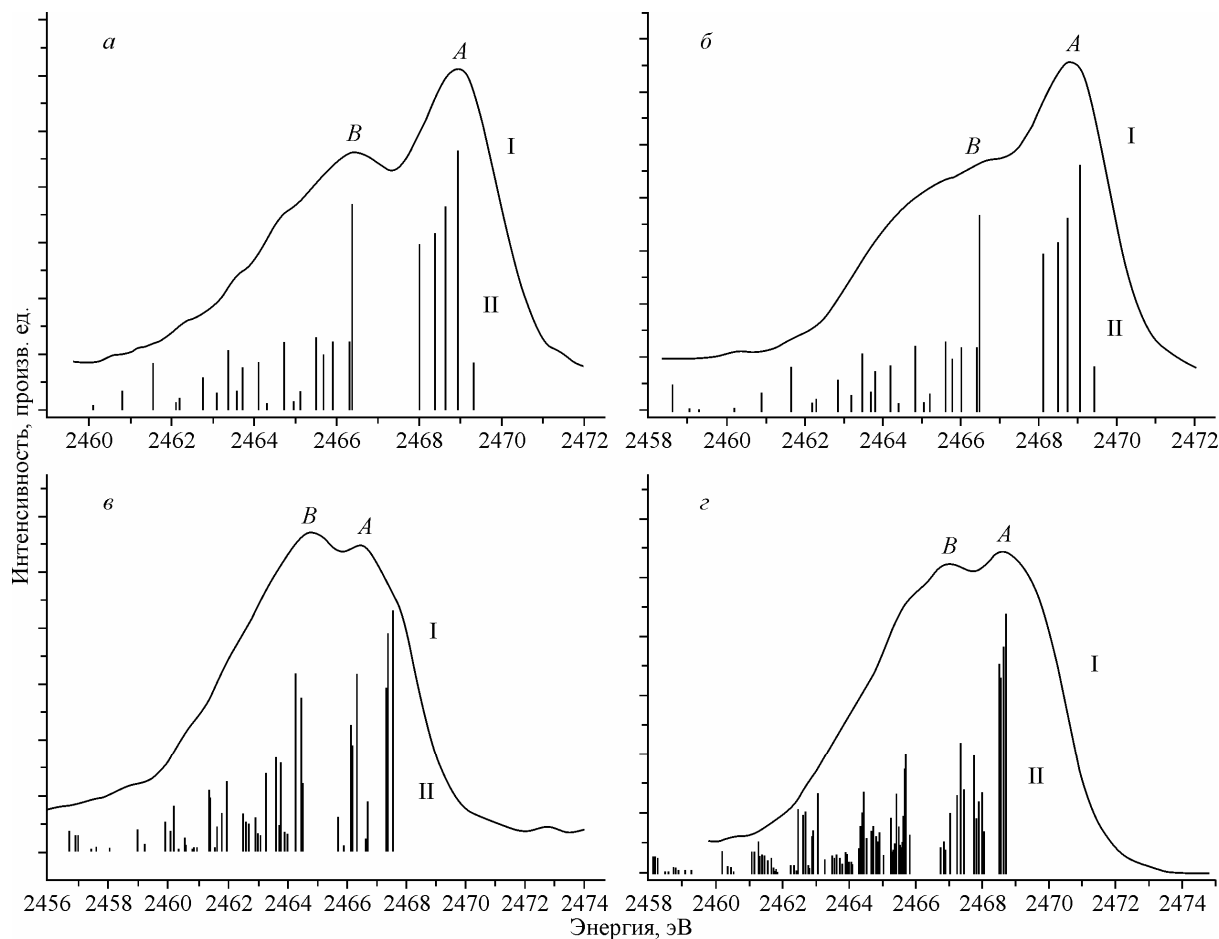


Рис. 2. Экспериментальные рентгеновские эмиссионные  $S(K_{\beta})$ -спектры (I) и теоретические интенсивности рентгеновских переходов и их относительное энергетическое положение (II) для тиакаликс[4]аренов в конформации конус *a* — 2, *b* — 3 и тиакаликс[4]аренов в конформации 1,3-альтернат, *c* — 4, *d* — 5

ные  $S(K_{\beta})$ -спектры для тиакаликс[4]аренов в конформации конус и 1,3-альтернат и приведены картины распределения локализации электронной плотности  $3p$ -АО серы тиакаликс[4]аренов по результатам теоретических расчетов относительных вкладов отдельных АО серы в данную МО.

Экспериментальные рентгеновские эмиссионные  $S(K_{\beta})$ -спектры тиакаликс[4]аренов представляют двугорбую структуру, характерную для всех диалкилсульфидов типа  $R_2S$ , где  $R$  — алифатический радикал. По аналогии с сульфидами типа  $R_2S$  [6] максимум в коротковолновой области в  $K_{\beta}$ -спектрах серы в ТКА (2469—2470 эВ) может быть связан с рентгеновскими переходами электронов верхних занятых молекулярных уровней с участием неподеленной пары электронов  $S3p$  (несвязывающие МО), а максимум в области 2466 эВ обусловлен переходами с  $\sigma$ -связующих МО, построенных с участием  $3p$ -АО серы. Необходимо отметить, что  $S(K_{\beta})$ -спектры молекул тиакаликс[4]аренов в конформации 1,3-альтернат показывают уменьшение коротковолнового максимума, свидетельствующее о большей делокализации  $3p$ -электронов серы на соседние фрагменты молекулы по сравнению с конформацией конус. Однако эта делокализация меньше, чем в случае молекул  $R_2S$  с двумя ароматическими радикалами [6], вероятно, вследствие нелинейного строения фрагмента  $Ar-S-Ar$  в ТКА.

Проведенный анализ особенностей тонкой структуры рентгеновских эмиссионных  $S(K_{\beta})$ -спектров валентной полосы показывает, что атомы серы в молекулах тиакаликс[4]аренов в конформации конус могут выступать как доноры электронов в химических взаимодействиях с другими реагентами подобно тому, как ведут себя молекулы алифатических сульфидов.

В случае тиакаликс[4]аренов в конформации 1,3-альтернат донорная способность атомов серы в нижнем ободе уменьшается по сравнению с молекулами в конфигурации конус.

С целью детализации выводов, полученных при анализе экспериментальных данных, были проведены модельные квантово-химические расчеты электронной структуры изучаемых соединений. В случае тиакаликс[4]аренов (**2**, **3**) самые верхние занятые MO ( $\varepsilon_i \approx 6,6$  эВ) построены с небольшим вкладом 3p-AO серы, однако непосредственно к этим орбиталям прилегает группа MO ( $\varepsilon_i \approx 6,8$ —7,3 эВ), построенных с большим участием 3p-AO серы. Соответственно эти орбитали и формируют максимум *A* (см. рис. 2, *a* и *б*).

Таким образом, простые модельные соображения о наличии локализации "неподеленной пары", обусловленной только 3p-электронами серы в рассмотренных молекулах, являются упрощенными. Электронная плотность на ВЗМО, обуславливающая донорную способность атомов серы в рассматриваемых молекулах, определяется вкладами других AO молекулы.

Результаты теоретических расчетов тиакаликс[4]аренов в конформации 1,3-альтернат (**4**, **5**) показывают, что ВЗМО этих молекул построены с большим участием 3p-AO серы (50—60 %), однако вклады 3p-AO в соответствующей MO меньше, чем в случае тиакаликс[4]аренов в конформации конус (**2**). В этой связи в  $K_{\beta}$ -спектре серы максимум *A*, отвечающий рентгеновским эмиссионным переходам с этих ВЗМО, имеет меньшую относительную интенсивность (см. рис. 2, *в* и *г*).

**Взаимосвязь экстракции палладия и электронного строения тиакаликс[4]аренов.** В случае тиакаликсаренов сопоставление экстракционных и рентгеноспектральных характеристик корректно для процесса, при котором не происходит депротонирование OH-групп ТКА. Область доминирования координационной экстракции палладия была установлена при исследовании зависимости коэффициента распределения палладия  $D_{\text{Pd}}$  в диапазоне кислотности от pH 13 до 2M HNO<sub>3</sub>. Высокие значения  $D_{\text{Pd}}$  при экстракции тиакаликсаренами в диапазоне кислотности от pH 3—4 до концентрации 2M HNO<sub>3</sub> (табл. 2, рис. 1) косвенно свидетельствуют об экстракции палладия за счет координации ТКА к палладию посредством мостиковых атомов серы без участия OH-групп нижнего обода. При pH > 5 наблюдается резкое (с 90—100 % до 0,1—3,0 %) снижение процента извлечения палладия с последующим монотонным убыванием в случае ТКА с аллокси-группами в нижнем ободе, либо наличие минимума в диапазоне pH 5—10 с дальнейшим возрастанием  $E_{\text{Pd}}$  для тиакаликсаренов с OH-группами в нижнем ободе вследствие обмена протона на полимерные катионные формы палладия [21].

При экстракции из кислых растворов для ТКА в конформации конус замена мостиковой CH<sub>2</sub>-группы в каликс[4]арене **1** на атомы серы в тиакаликс[4]аренах **2** и **3** приводит к повыше-

Таблица 2

## Экстракция палладия из азотно-кислых растворов тиакаликс[4]аренами

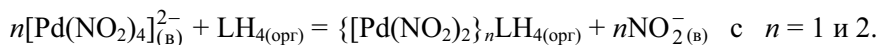
Параметр	$D_{\text{Pd}}$ для экстрагента							
	ДФС	1	2	3	4	5	6	7
pH 4,80	—	—	240	9,2	0,17	—	>1000	>1000
pH 3,45	—	0,005	550	20,2	—	—	>1000	>1000
			$C(\text{HNO}_3), \text{M}$					
0,3	0,024	0,001	370	21,6	0,19	0,12	—	—
0,5	0,041	0,001	373	14,9	0,19	0,1	—	—
1	0,054	0,002	352	8,4	0,20	0,05	—	—
1,5	—	—	237	6,8	0,23	0,07	—	—
2	0,066	—	216	4,8	0,26	0,09	—	—
3	0,21	—	63	4,2	0,26	0,10	—	—

Примечания. Концентрации **1**—**6** — 7; **7** — 24; ДФС — 30 ммоль/л.

нию  $D_{\text{Pd}}$  на 4—5 порядков и более чем на 3 порядка по сравнению с ДФС (см. табл. 2). Снижение  $D_{\text{Pd}}$  с ростом кислотности (выше 2 М  $\text{HNO}_3$ ), вероятнее всего, связано с низкой устойчивостью тиакаликсаренов к окислению. При одинаковой общей концентрации атомов серы и переходе от тиакаликс[4]аренов в конформации *конус* (**2** и **3**) к тиакаликсаренам в конформации 1,3-*альтернат* (**4** и **5**) величины  $D_{\text{Pd}}$  снижаются с  $10^2$  до  $10^{-1}$  и практически не зависят от кислотности водной фазы. Столь значительное снижение  $D_{\text{Pd}}$ , очевидно, определяется изменением пространственного соответствия "металл—лиганд" при изменении конформации ТКА.

На основании полученных и известных для  $\text{R}_2\text{S}$  величин  $D_{\text{Pd}}$  условная последовательность экстракционной способности серосодержащих соединений выглядит следующим образом: каликсарентиоэфиры > диалкилсульфиды (монодентатные аналоги) > тиокаликсарены в конформации *конус* и их ациклический аналог > тиакаликсарены в конформации 1,3-*альтернат* > > дифенилсульфид. Для первой пары экстрагентов наблюдается высокий (100—1000) МЭ, рассчитанный как отношение величин  $D_{\text{Pd}}$  при одинаковой общей концентрации донорных атомов серы. Причиной появления МЭ является хелатообразование палладия с двумя соседними атомами серы макроцикла и отсутствие такового в случае  $\text{R}_2\text{S}$ . Для второй пары экстрагентов МЭ вообще отсутствует, поскольку хелатообразование, вероятно, происходит для обоих экстрагентов в пределах одного фрагмента тиакаликсарена.

Стехиометрия комплексообразования палладия была определена экстракционными методами разбавления **3** ( $\text{LH}_4$ ) толуолом или дихлорэтаном при экстракции из растворов с pH 3,0 и насыщения органической фазы раствором формы  $[\text{Pd}(\text{NO}_2)_4]^{2-}$ . Вдали от насыщения билогарифмические зависимости в диапазоне концентраций экстрагента 0,4—10 ммоль/л линейны ( $\lg D_{\text{Pd}} = a \cdot \lg C_{\text{LH}_4} + b$  с коэффициентами для дихлорэтана и толуола  $a = 1,01$  и  $1,06$ ,  $b = 3,83$  и  $3,53$  соответственно), что отвечает образованию комплексов с отношением  $\text{Pd:LH}_4 = 1:1$ . При насыщении это отношение возрастает до 2:1, в ИК спектрах экстрактов присутствуют полосы координированных  $\text{NO}_2$ -групп при  $1344$  и  $1385 \text{ cm}^{-1}$ . По результатам анализа насыщенных экстрактов соотношение  $\text{Pd:NO}_2$  близко к 1:2. Это подтверждает протекание процесса экстракции



При  $n = 1$  и постоянной равновесной концентрации нитрит-ионов эффективные константы экстракции  $K_{1,1} = D_{\text{Pd}}/C_{\text{LH}_4}$  в дихлорэтане и толуоле равны  $(7,2 \pm 1,0) \cdot 10^3$  и  $(2,46 \pm 0,08) \cdot 10^3$  соответственно. Синтезированный при высоких pH и структурно охарактеризованный комплекс палладия **3** состава 2:2 не содержит координированных неорганических анионов [3]. Как уже отмечалось, независимо от конформации все исследованные тиакаликс[4]арены характеризуются сдвигом полосы в  $K_\alpha$ -спектре в диапазоне от  $-0,15$  до  $-0,25$  эВ относительно элементарной серы. Для каликсарентиоэфира **6** сдвиг полосы в  $K_\alpha$ -спектре составляет  $-0,32$  эВ, т.е. ниже, чем для исследованных тиакаликсаренов. С учетом литературных данных по монодентатным  $\text{R}_2\text{S}$  [6] ряд изменения электронной плотности на атомах серы выглядит следующим образом: каликсарентиоэфиры (**6**) > тиакаликсарены (**3**, **2**, **4**, **5**) > диалкилсульфиды  $((\text{C}_{10}\text{H}_{21})_2\text{S})$  > дифенилсульфид. Однако приведенный выше ряд изменения экстрагируемости палладия не полностью совпадает с данными о зарядовом состоянии атомов серы, прежде всего по положению в этом ряду тиакаликс[4]аренов в конформации 1,3-*альтернат*. Их низкая экстракционная способность обусловлена структурными ограничениями молекул 1,3-*альтернат* при комплексообразовании с палладием, т.е. условиями перекрывания пограничных молекулярных орбиталей (ВЗМО и НСМО) взаимодействующих молекул.

## ЗАКЛЮЧЕНИЕ

Результаты РФЭС и РЭС исследований тиакаликс[4]аренов свидетельствуют о наличии на мостиковых атомах серы значительной электронной плотности, обусловленной вкладом  $3p$ -АО серы в верхние занятые MO молекул.

Мостиковое положение атомов серы в нижнем ободе молекул тиакаликс[4]аренов между двумя бензольными циклами не приводит к делокализации  $3p$ -электронной плотности на бен-

зольные кольца, как этого можно было бы ожидать по аналогии с  $K_{\beta}$ -спектрами  $\text{Ar}_2\text{S}$ . Это может быть обусловлено отсутствием эффективного  $\pi$ -сопряжения между атомом серы и ближайшими бензольными циклами вследствие геометрических характеристик мостикового фрагмента  $\text{Ar}—\text{S}—\text{Ar}$ .

Сопоставление зарядового состояния атома серы в серосодержащих лигандах-экстрагентах различных классов с их экстракционной способностью по отношению к палладию показывает отсутствие общей корреляции. Следует отметить, что общей корреляции между характеристиками в газовой и конденсированной средах без учета сольватационной составляющей и особенностей комплексообразования (разная природа и стехиометрия комплексов, размерные ограничения) трудно ожидать.

Работа выполнена в рамках интеграционного проекта СО РАН—НАН Украины № 107.

#### СПИСОК ЛИТЕРАТУРЫ

1. Iki N., Miyano S. // J. Incl. Phenom. – 2001. – **41**. – P. 99 – 105.
2. Шокова Э.А., Ковалев В.В. // Журн. орган. химии. – 2003. – **39**, вып. 1. – С. 13 – 40.
3. Morohashi N., Narumi F., Iki N. et al. // Chem. Rev. – 2006. – **106**. – P. 5291 – 5316.
4. Asfari Z., Bilyk A., Dunlop J.W.C. et al. // Angew. Chem. Int. Ed. – 2001. – **40**. – P. 721 – 723.
5. Торгов В.Г. // Isotopenpraxis. – 1984. – **B20**, № 9. – S. 352 – 359.
6. Мазалов Л.Н., Юматов В.Д. Электронное строение экстрагентов. – Новосибирск: Наука, 1984.
7. Torgov V., Kostin G., Korda T. et al. // Solvent Extraction and Ion Exchange. – 2005. – **23**, N 6. – P. 781 – 801.
8. Akdas H., Bringel L., Graf E. et al. // Tetrahedron Lett. – 1998. – **39**. – P. 2311 – 2314.
9. Kumagai H., Hasegawa M., Miyanari S. et al // Tetrahedron Lett. – 1997. – **38**. – P. 3971 – 3972.
10. Lang J., Dvorakova H., Bartosova I. et al // Tetrahedron Lett. – 1999. – **40**. – P. 373.
11. Lhoták P., Himl M., Stibor I. et al. // Tetrahedron. – 2003. – **59**. – P. 7581 – 7585.
12. Moulder J.F., Stickle W.F., Sobol P.E. et al. Handbook of X-Ray Photoelectron Spectroscopy. / Ed. J. Chastain. – Minnesota: Perkin-Elmer, Eden Prairie, 1992.
13. Jaguar 7.5, Shrodinger Inc. – Portland OR. – 2008.
14. Becke A. // J. Chem. Phys. – 1993. – **98**. – P. 5648.
15. Lee C., Yang W., Parr R.G. // Phys. Rev. B. – 1988. – **37**. – P. 785.
16. Mitin A.V., Baker J., Pulay P. // J. Chem. Phys. – 2003. – **118**. – P. 7775.
17. Chirlan L.E., Franci M.M. // J. Comput. Chem. – 1987. – **8**. – P. 894.
18. Hehre W.J., Ditchfield R., Steward R.F., Pople J.A. // J. Chem. Phys. – 1970. – **52**. – P. 2769.
19. Карлсон Т.А. Фотоэлектронная и Оже-спектроскопия: Пер. с англ. – Л.: Машиностроение, 1981.
20. Мазалов Л.Н., Юматов В.Д., Мурахманов В.В. Рентгеновские спектры молекул. – Новосибирск: Наука, 1977.
21. Алимарин И.П., Шленская В.И., Бирюков А.А. и др. // Журн. аналит. химии. – 1970. – **25**, № 10. – С. 1965 – 1997.